



CTG
Italcementi Group

Impianto idroelettrico di Olmo al Brembo

DIGA DI CASSIGLIO

ALLEGATO 6

Indagini sulla muratura in calcestruzzo e
nella roccia di fondazione mediante prove
di laboratorio su campioni

**Impianto idroelettrico di Olmo al Brembo
DIGA DI CASSIGLIO**

ALLEGATO 6

Indagini sulla muratura in calcestruzzo e
nella roccia di fondazione mediante prove
di laboratorio su campioni





ISMES spa

viale G. Cesare 29 - 24100 Bergamo

tel. 035/358111 - tlx 301249 ISMES I - fax 035/211191

DIGA DI CASSIGLIO (BG)
INDAGINI SULLA MURATURA IN CALCESTRUZZO E NELLA
ROCCIA DI FONDAZIONE MEDIANTE PROVE DI LABORATORIO
SU CAMPIONI

p.c. ITALCEMENTI
PROG. ASP 4019.72/DOC/REL/DGM 031/REV. 00

documento di pagine

00	29/06/88	Locatelli	R. Marconi	P.P. Rossi		Ricciioni		
rev.	data		redatto	verificato	approvato		Direzione	
			Unita' emittente			Autorizzazioni		

INDICE

1. PREMESSA	3
2. APPARECCHIATURE E METODOLOGIE DI PROVA	3
2.1 Determinazione della massa volumica apparente	4
2.2 Determinazione della velocita' sonica	4
2.3 Determinazione della porosita'	4
2.4 Prova di permeabilita'	5
2.5 Prova di compressione monoassiale	6
2.6 Prova di trazione diretta	6
3. RISULTATI DELLE PROVE DI LABORATORIO	7
3.1 Campioni in calcestruzzo della struttura	7
3.2 Roccia di fondazione	8

1. PREMESSA

La presente relazione riferisce su una serie di indagini svolte dalla Divisione Geomeccanica dell'ISMES di Bergamo per conto della spettabile ITALCEMENTI di Bergamo con lo scopo di caratterizzare il calcestruzzo e la roccia di fondazione della diga di Cassiglio, ubicata in Valle Stabina (laterale della Valle Brembana), in comune di Cassiglio (provincia di Bergamo).

Le prove di laboratorio, atte a determinare le principali caratteristiche fisiche e di resistenza meccanica di campioni di calcestruzzo e roccia di fondazione, sono state effettuate su provini ottenuti dalla realizzazione di n. 2 sondaggi ($D=86$ mm), dei quali uno verticale ed uno inclinato (15°), realizzati presso la sponda sinistra orografica a partire dal coronamento e aventi una lunghezza di circa 53 metri.

2. APPARECCHIATURE E METODOLOGIE DI PROVA

Le prove sono state effettuate su n. 20 campioni di calcestruzzo e n. 5 di roccia (provenienti dai sondaggi SII e SIV), visibili nelle foto da fig. 1 a fig. 5.

Sono state eseguite le seguenti prove:

- n. 25 determinazioni della massa volumica apparente su roccia e calcestruzzo;
- n. 25 determinazioni della velocità sonica su roccia e calcestruzzo;
- n. 5 determinazioni della massa volumica reale e della porosità della roccia;
- n. 6 determinazioni della permeabilità su calcestruzzo;
- n. 17 prove di compressione monoassiale su roccia e calcestruzzo;
- n. 4 prove di trazione diretta su calcestruzzo.

2.1 Determinazione della massa volumica apparente

La massa volumica apparente (peso di volume) e' stata direttamente determinata sui campioni cilindrici, ottenuti previe operazioni di taglio e rettificazione meccanica dei campioni, dopo essicamento in forno a 110° C.

Si e' utilizzato un calibro ventesimale ed una bilancia di precisione (+/- .1g).

2.2 Determinazione della velocita' sonica

La velocita' di propagazione delle onde elastiche longitudinali (velocita' sonica) e' stata determinata mediante un'apparecchiatura costituita da:

- un generatore di impulsi ultrasonici;
- due trasduttori di ceramica piezoelettrica applicati alle teste del campione per la ricezione del segnale;
- un amplificatore collegato ad un oscilloscopio a raggi catodici;
- un misuratore di intervalli di tempo ad alta risoluzione.

2.3 Determinazione della porosita'

E' stata dapprima ottenuta la massa volumica reale dei campioni (peso specifico assoluto), ricavata dai frammenti residui dopo le prove di resistenza, polverizzati e vagliati al setaccio 75 UNI.

Il volume del macinato, immerso in acqua ed opportunamente "disareato" con l'impiego d'una pompa a vuoto, e' stato valutato mediante l'utilizzo di picnometri tarati (in accordo con la norma CNR - UNI 10010).

La porosita' ottenuta, approssimata allo 0.1%, deriva dalla relazione:

$$n = 100 \cdot \left(\frac{\rho_s - \rho_d}{\rho_s} \right) \%$$

dove gli indici s e d si riferiscono al peso specifico ed alla densità a secco dei campioni.

2.4 Prova di permeabilità'

Le prove di permeabilità' sui campioni di calcestruzzo sono state condotte mediante i dispositivi schematizzati nella fig. 6.

L'attrezzatura è costituita da un accumulatore idropneumatico acqua-azoto (fornito di due serbatoi di acciaio, manometri, valvole, riduttori di pressione), che alimenta il permeametro in acciaio, ove è alloggiato il provino.

Tale attrezzatura consente di effettuare prove di permeabilità' longitudinale in presenza d'un carico di confinamento idrostatico di poco superiore al carico idraulico, applicato all'estremità inferiore del campione, al fine di garantire una perfetta aderenza della guaina di gomma che riveste il campione medesimo. I valori dei carichi idraulici di prova sono stati scelti di volta in volta in funzione delle caratteristiche di permeabilità' dei campioni (quindi in funzione del tempo necessario alla saturazione degli stessi) e mantenuti costanti; si è operato con carichi idrostatici variabili tra 6 e 10 MPa.

A saturazione avvenuta si è poi misurata la portata dell'acqua, verificandone la sostanziale stabilità nel tempo. Il coefficiente di permeabilità' viene ricavato dall'espressione:

$$K = \frac{Q \times L}{q \times A}$$

in cui:

Q = portata in (cmc/s);

q = carico idraulico di prova (espresso nell'equivalenza in cm);

L = altezza del campione in (cm);

A = sezione trasversale del campione in (cmq).

2.5 Prova di compressione monoassiale

Per la determinazione dei parametri elasticci e della sollecitazione di rottura si e' utilizzata una pressa rigida con un fondo scala di 50 t dotata di cella dinamometrica per la misura della sollecitazione assiale.

Durante le prove sono state controllate le deformazioni assiali e diametrali e la sollecitazione assiale.

Le deformazioni sono state rilevate mediante "Strain Gauges" di base 60 mm (campioni della muratura) o 30 mm (campioni di roccia) disposti simmetricamente, due in direzione longitudinale e due in direzione trasversale.

Nella foto di fig. 7 raffigurato un campione durante la prova. L'acquisizione e la registrazione continua dei dati e' avvenuta con l'ausilio d'un convertitore analogico-digitale interfacciato con un calcolatore; i dati sono stati memorizzati su disco magnetico.

La prova e' stata eseguita in controllo di carico, il quale e' stato applicato secondo un gradiente di 0.1 MPa/sec.

Prima di sollecitare i campioni di calcestruzzo sino al valore di resistenza ultima alla compressione monoassiale sono stati eseguiti n. 2 cicli di carico ai livelli di sollecitazione 4 e 8 MPa per indagare la reversibilita' di comportamento di questi materiali. Sui campioni di roccia non e' stato possibile eseguire i previsti due cicli a 15 e 30 MPa a causa dei valori dei carichi di rottura che sono risultati inferiori a 30 Mpa.

Le operazioni di prova sono integralmente automatizzate mediante computer che assolve funzioni di comando macchina e controllo processo.

2.6 Prova di trazione diretta

I campioni, con rapporti di snellezza (L/D) pari circa a 2 e diametri dell'ordine dei 71 mm, sono stati incollati, mediante speciale adesivo, a teste cilindriche d'acciaio. La presenza di snodi sferici ed un sistema per l'applicazione della tensione composto da rulli in catena ha evitato che il carico trasmesso dalla pressa alle teste del campione desse luogo ad indesiderati sforzi flessionali e torsionali.

La sollecitazione è stata incrementata in ragione di 0.05 MPa/s, sino a provocare la rottura dei campioni. Nella foto di fig. 8 è raffigurato un campione durante la prova.

3. RISULTATI DELLE PROVE DI LABORATORIO

Sono allegati i seguenti elaborati:

- tabelle riepilogative di tutti i risultati (fig. 9 calcestruzzi, fig. 10 roccia di fondazione);
- determinazione della massa volumica reale della roccia (figg. 11-15);
- diagrammi sforzi-deformazioni delle prove meccaniche (figg. 16-27 cicli di carico e prove di compressione sino a rottura sui calcestruzzi; fig. 28-32 cicli di carico e prove di compressione sino a rottura sulla roccia di fondazione);
- diagrammi sforzi-deformazioni delle prove di trazione diretta sui calcestruzzi (figg. 33-36).

Di seguito sono sintetizzati i principali risultati.

3.1 Campioni in calcestruzzo della struttura

Per i campioni attinenti alla struttura i valori medi delle principali caratteristiche sono risultati i seguenti:

- massa volumica apparente	2.35 g/cm ³
- velocita' sonica	4530 m/s
- coefficiente di permeabilita'	4 E-8 cm/s
- modulo elastico (tra 8 e 0.5 MPa)	33.800 MPa
- coefficiente di Poisson (8 e 0.5 MPa)	0.20
- resistenza a compressione	27.1 MPa
- resistenza a trazione diretta	1.3 MPa

3.2 Roccia di fondazione

Per quanto riguarda le caratteristiche fisico-mecaniche della roccia di fondazione, i valori medi sono risultati i seguenti:

- massa volumica apparente	2.72 g/cm ³
- massa volumica reale	2.85 g/cm ³
- porosita'	4.7%
- velocita' sonica	1570 m/s
- modulo elastico secante (R/2 - 0.5 MPa)	10.700 MPa
- coefficiente di Poisson (R/2 - 0.5 MPa)	0.38
- resistenza a compressione monoassiale	17.4 MPa

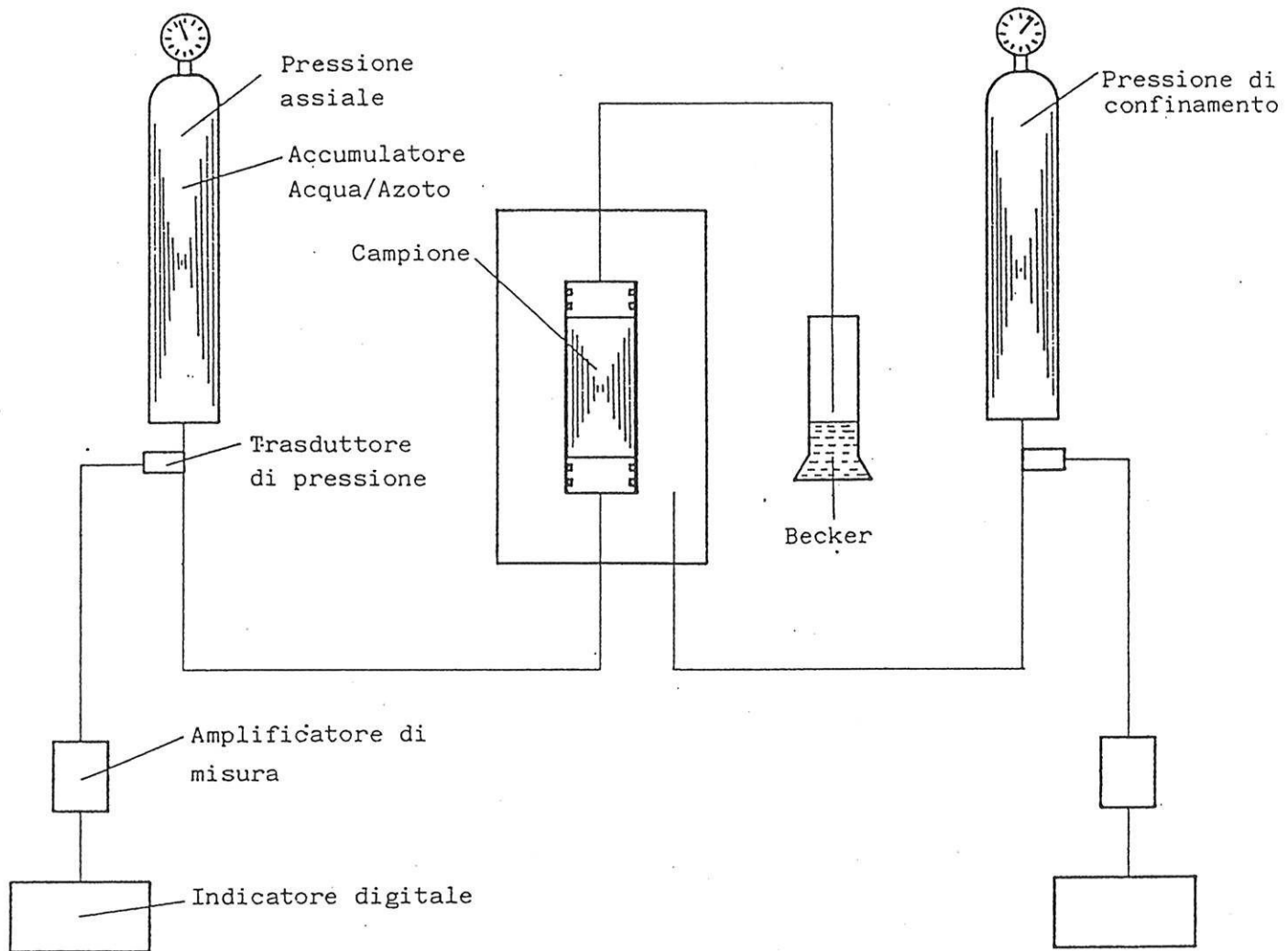
Si sottolinea che il numero esiguo dei campioni e' dovuto al fatto che dal sondaggio SLV non e' stato possibile ricavare provini a causa della intensa fratturazione della roccia.



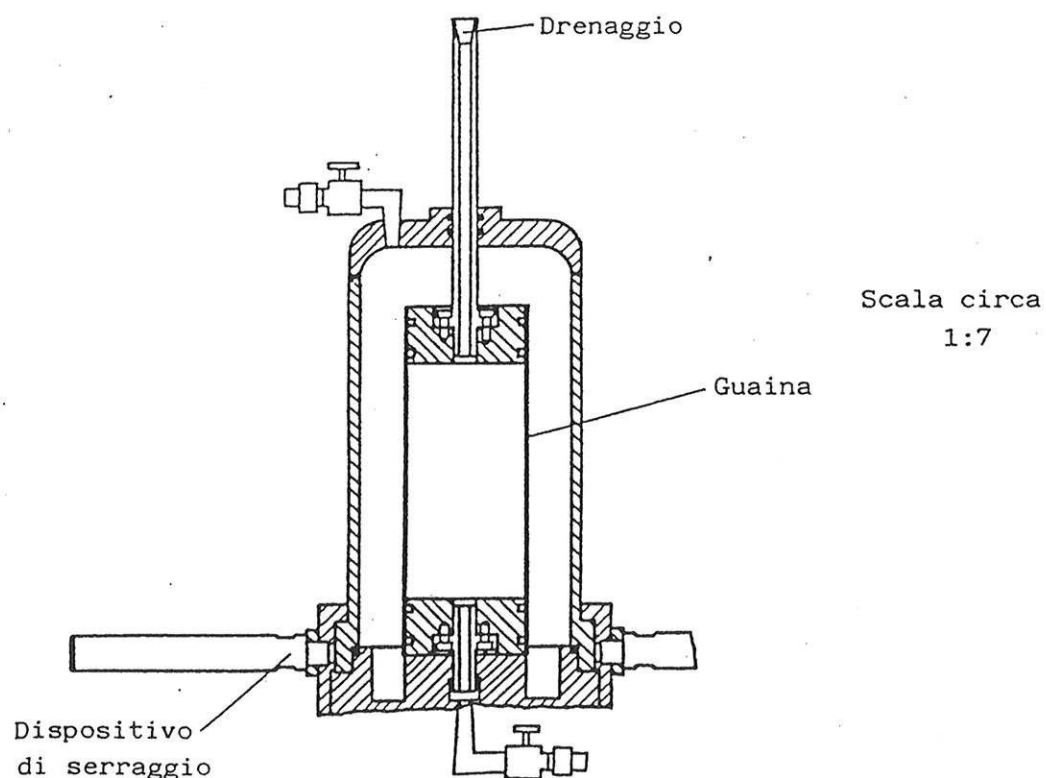
Prog 4019.72/DGM
Doc REL/DGM/031
Rev 00
pag. 9

Le prove sono state eseguite a cura del p.i. L. Locatelli.

ATTREZZATURA PER
PROVE DI PERMEABILITA'



PARTICOLARE PERMEAMETRO



COMMITTENTE : ITALCEMENTI
DIGA DI CASSIGLIO

TABELLA RIASSUNTIVA
DEI CAMPIONI
IN CALCESTRUZZO

I CAMPIONI	ISONDAGGIO	PROFON.	DIAMETRO	ALTEZZA	MASSA VOLUMICA	VELOCITA' APPAR.	CARICO SONICA	MODULO DI ROTTURA	COEF. DI ELASTICO	COEF. DI POISSON	K PERMEA.
		m	mm	mm	g/cm³	m/s	N	MPa	MPa		
1	ISII	2.25	71.7	143.1	2.41	4850	.99#				11.9 E-10
2	ISII	3.90	71.7	141.9	2.48	4920	42.10	52600	.25		
3	ISII	6.35	71.7	141.2	2.50	4830	31.97	40450	.24		
4	ISII	9.30	71.7	141.8	2.38	4920	36.48	37900	.21		
5	ISII	11.75	71.7	143.3	2.27	4510	1.4#				17.8 E-6
6	ISII	13.30	71.6	140.8	2.29	4460	23.96	39400	.28		
7	ISII	15.70	71.6	142.4	2.49	4880					
8	ISII	17.10	71.7	142.4	2.14	4020	16.25	23650	.16	18.6 E-4	
9	ISII	19.30	71.6	142.5	2.15	3930	14.59	23100	.22		
10	ISII	20.10	71.7	141.8	2.46	4530					
1	ISIV	2.60	71.7	143.2	2.30	4420	21.47	29750	.20		
2	ISIV	4.60	71.7	142.6	2.53	5050	61.39	44850	.22		
3	ISIV	6.15	71.7	140.8	2.56	5050					
4	ISIV	8.45	71.7	143.0	2.28	4520	1.9#				12.6 E-10
5	ISIV	8.90	71.7	143.3	2.39	4510	24.45	38500	.19		
6	ISIV	10.00	71.7	141.1	2.41	4870					
7	ISIV	11.70	71.7	141.6	2.27	4380	29.41	37600	.20		
8	ISIV	15.50	71.5	139.2	2.07	3310	9.67	15500*	.15	14.7 E-7	
9	ISIV	17.80	71.7	141.9	2.44	4680	.97#				11.1 E-9
10	ISIV	18.70	71.7	142.3	2.31	3970	14.06	23050*	.15		

PROVE DI TRAZIONE

* VALORI CALCOLATI NELL'INTERVALLO 4-5 MPa

COMMITTENTE : ITALCEMENTI
DIGA DI CASSIGLIO

TABELLA RIASSUNTIVA
DEI CAMPIONI
IN ROCCIA

CAMPIONI	(SONDAGGI) PROFON.	(DIAMETRO	ALTEZZA	MASSA	IPDROSITA'	VELOCITA'	CARICO	MODULO	DEF. DI	ELASTICO	POISSON	
					VOLUMICA	VOLUMICA	APPAR.	REALE	%	a/s	MPa	MPa
		m	mm	mm	g/cm ³	g/cm ³						
11	ISII	24.4	71.9	143.1	2.69	2.86	5.94	1350	14.53	5200	.13	
12	ISII	25.3	71.8	144.0	2.71	2.85	4.91	1490	17.10	11300	.50	
13	ISII	25.5	71.8	142.9	2.70	2.84	4.92	1470	17.28	16700	.47	
14	ISII	25.8	71.6	142.5	2.74	2.86	4.19	1560	17.74	10800	.21	
15	ISII	31.2	71.8	141.9	2.76	2.86	3.50	1980	20.52	9700	.60	

* VALORI CALCOLATI NELL'INTERVALLO R/2-.5 MPa

Committente

ITALCEMENTI

Cantiere

DIGA DI CASSIGLIO

Sondaggio S1 I

Campione 11

Profondita' 24.40 m

DETERMINAZIONE DELLA MASSA VOLUMICA REALE (secca)

Picnometro	n	3	13
Massa campione secco+tara	a	g	102.1858
Tara	b	g	72.2743
Massa campione secco	a - b	g	29.9115
Massa picnometro+acqua a temp. (dalle curve di taratura)	c	g	167.6050
Massa picnometro+acqua+massa del campione secco	(a-b) +c	g	197.5165
Massa pic.+acqua+campione	d	g	187.0351
Volume del campione	(a-b) +c-d	cm ³	10.4814
Temperatura		° C	21.00
Massa volumica reale	$\frac{a - b}{(a-b) + c-d} \gamma$	g/cm ³	2.85
VALORE MEDIO 2.86 g/cm ³			2.86

Committente

ITALCEMENTI

Cantiere

DIGA DI CASSIGLIO

Sondaggio S1 I

Campione 12

Profondita' 25.30 m

DETERMINAZIONE DELLA MASSA VOLUMICA REALE (secca)

Picnometro	n	3	12
Massa campione secco+tara	a	g	102.2670
Tara	b	g	72.2743
Massa campione secco	a - b	g	29.9927
Massa picnometro+acqua a temp. (dalle curve di taratura)	c	g	167.6015
Massa picnometro+acqua+massa del campione secco	(a-b) +c	g	197.5942
Massa pic.+acqua+campione	d	g	187.1045
Volume del campione	(a-b) +c-d	cm ³	10.4897
Temperatura	° C		21.20
Massa volumica reale	$\frac{a - b}{(a-b) + c-d} \gamma$	g/cm ³	2.85

VALORE MEDIO 2.85 g/cm³

Committente	ITALCEMENTI	
Cantiere	DIGA DI CASSIGLIO	
Sondaggio S1 I	Campione 13	Profondita' 25.50 m

DETERMINAZIONE DELLA MASSA VOLUMICA REALE (secca)

Picnometro	n	7	8
Massa campione secco+tara	a	g	108.6602
Tara	b	g	78.6999
Massa campione secco	a - b	g	29.9603
Massa picnometro+acqua a temp. (dalle curve di taratura)	c	g	174.8310
Massa picnometro+acqua+massa del campione secco	(a-b) +c	g	204.7913
Massa pic.+acqua+campione	d	g	194.3020
Volume del campione	(a-b) +c-d	cm ³	10.4893
Temperatura		° C	20.80
Massa volumica reale	$\frac{a - b}{(a-b) + c - d} \gamma$	g/cm ³	2.85
			2.84

VALORE MEDIO 2.84 g/cm³

Committente

ITALCEMENTI

Cantiere

DIGA DI CASSIGLIO

Sondaggio S1 I

Campione 14

Profondita' 25.80 m

DETERMINAZIONE DELLA MASSA VOLUMICA REALE (secca)

Picnometro	n	7	12
Massa campione secco+tara	a	g	108.6807
Tara	b	g	78.6999
Massa campione secco	a - b	g	29.9808
Massa picnometro+acqua a temp. (dalle curve di taratura)	c	g	174.8230
Massa picnometro+acqua+massa del campione secco	(a-b) +c	g	204.8038
Massa pic.+acqua+campione	d	g	194.3273
Volume del campione	(a-b) +c-d	cm ³	10.4765
Temperatura		° C	21.20
Massa volumica reale	$\frac{a - b}{(a-b) +c-d}$	g/cm ³	2.86

VALORE MEDIO 2.86 g/cm³

Committente	ITALCEMENTI	
Cantiere	DIGA DI CASSIGLIO	
Sondaggio S1 I	Campione 15	Profondita' 31.20 m

DETERMINAZIONE DELLA MASSA VOLUMICA REALE (secca)

Picnometro	n	8	13
Massa campione secco+tara	a	g	90.0711
Tara	b	g	60.0201
Massa campione secco	a - b	g	30.0510
Massa picnometro+acqua a temp. (dalle curve di taratura)	c	g	162.7296
Massa picnometro+acqua+massa del campione secco	(a-b) +c	g	192.7806
Massa pic.+acqua+campione	d	g	182.2454
Volume del campione	(a-b) +c-d	cm ³	10.5352
Temperatura		° C	21.20
Massa volumica reale	$\frac{a - b}{(a-b) +c-d} \gamma$	g/cm ³	2.85
VALORE MEDIO	2.86	g/cm ³	2.87

VALORE MEDIO 2.86 g/cm³

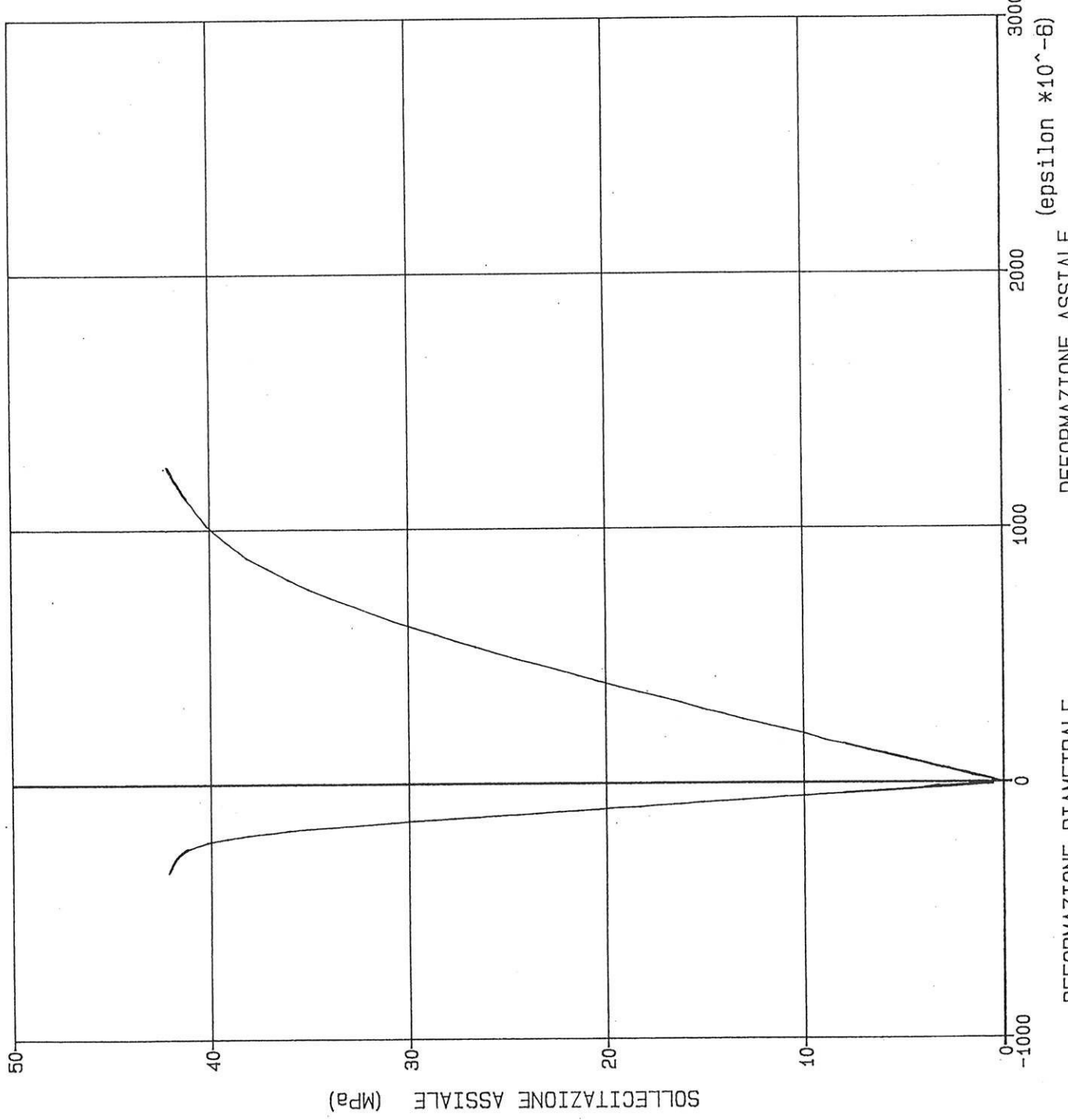
COMMITTENTE : ITALCEMENTI

DIGA DI CASSIGLIO

PROVE DI COMPRESSIONE
MONDASSIALE SUI CAMPIONI
DIAGRAMMI DELLE DEFORMAZIONI
ASSIALI E DIAMETRALI
IN FUNZIONE DELLA SOLLECITAZIONE
ASSIALE

CALCESTRUZZO

CAMPIONE : S11-2



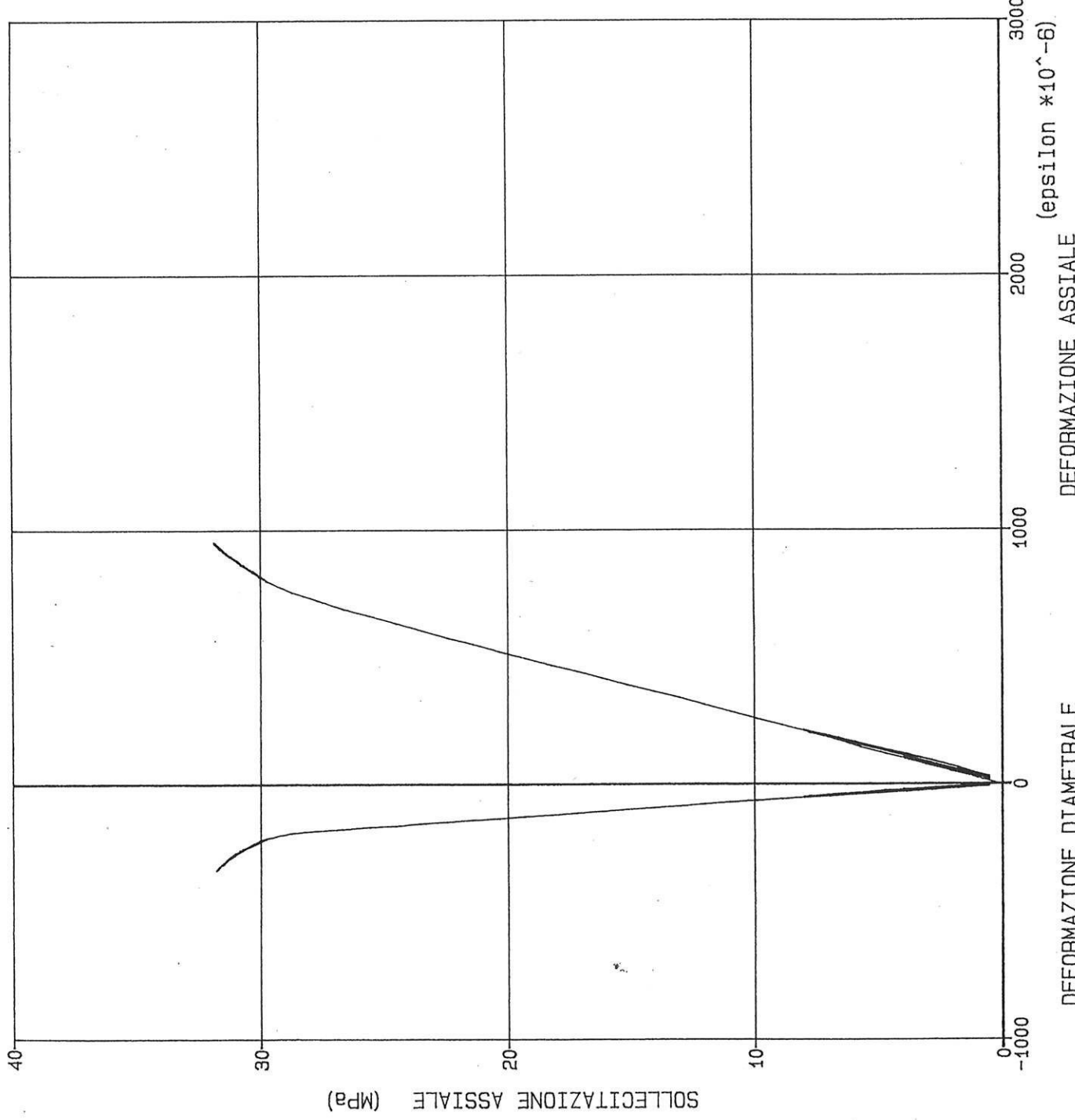
COMMITTENTE : ITALCEMENTI

DIGA DI CASSIGLIO

PROVE DI COMPRESSIONE
MONDIASTALE SUI CAMPIONI
DIAGRAMMI DELLE DEFORMAZIONI
ASSIALI E DIAMETRALI
IN FUNZIONE DELLA SOLLECITAZIONE
ASSIALE

CALCESTRUZZO

CAMPIONE : S1I-3



COMMITTENTE : ITALCEMENTI

DIGA DI CASSIGLIO

PROVE DI COMPRESSIONE
MONOASSIALE SUI CAMPIONI
DIAGRAMMI DELLE DEFORMAZIONI
ASSIALI E DIAMETRALI
IN FUNZIONE DELLA SOLLECITAZIONE
ASSIALE

CALCESTRUZZO

CAMPIONE : S1I-4

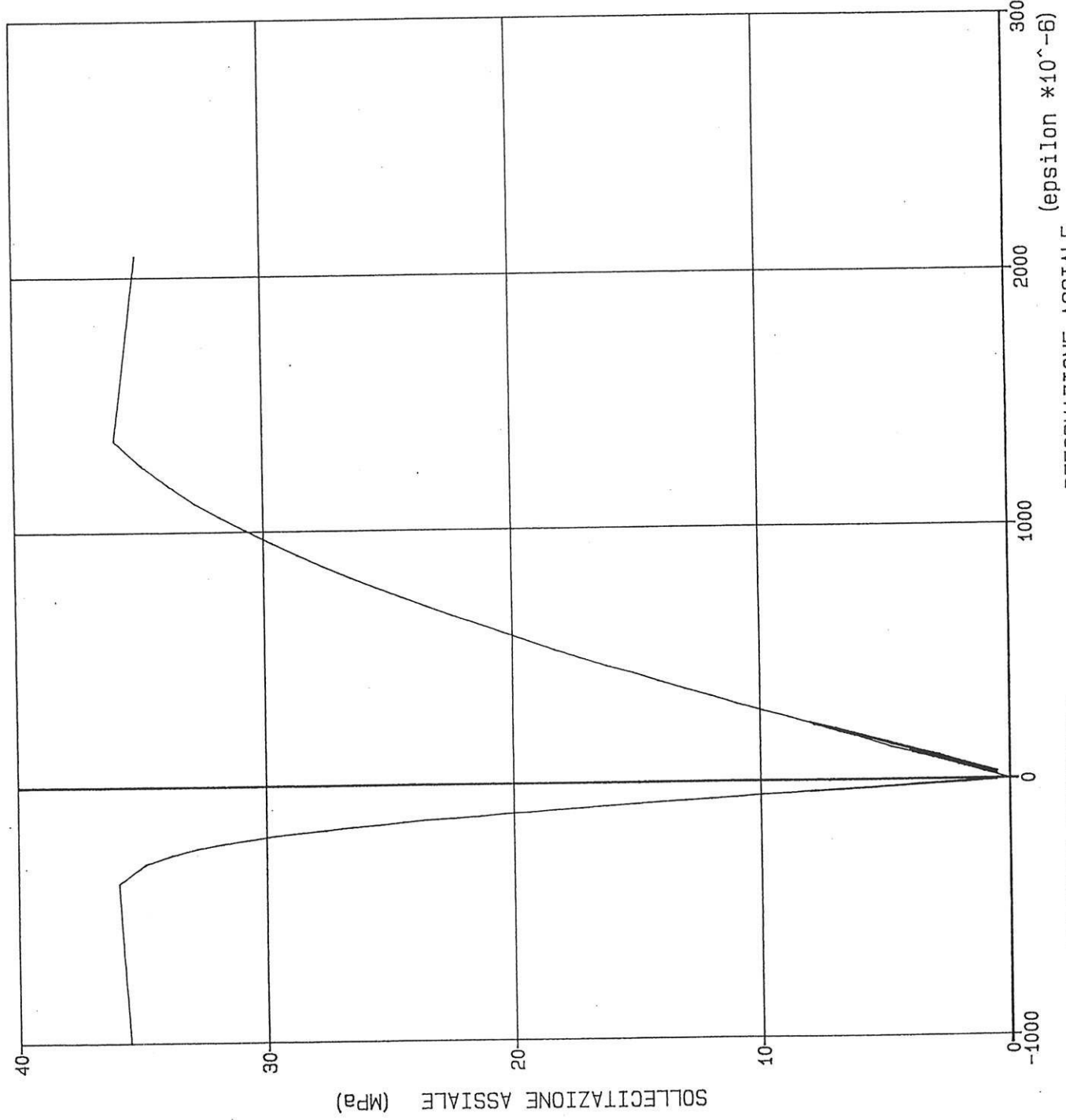


FIG. 18







FIG.3



FIG. 4



FIG.5



FIG.7

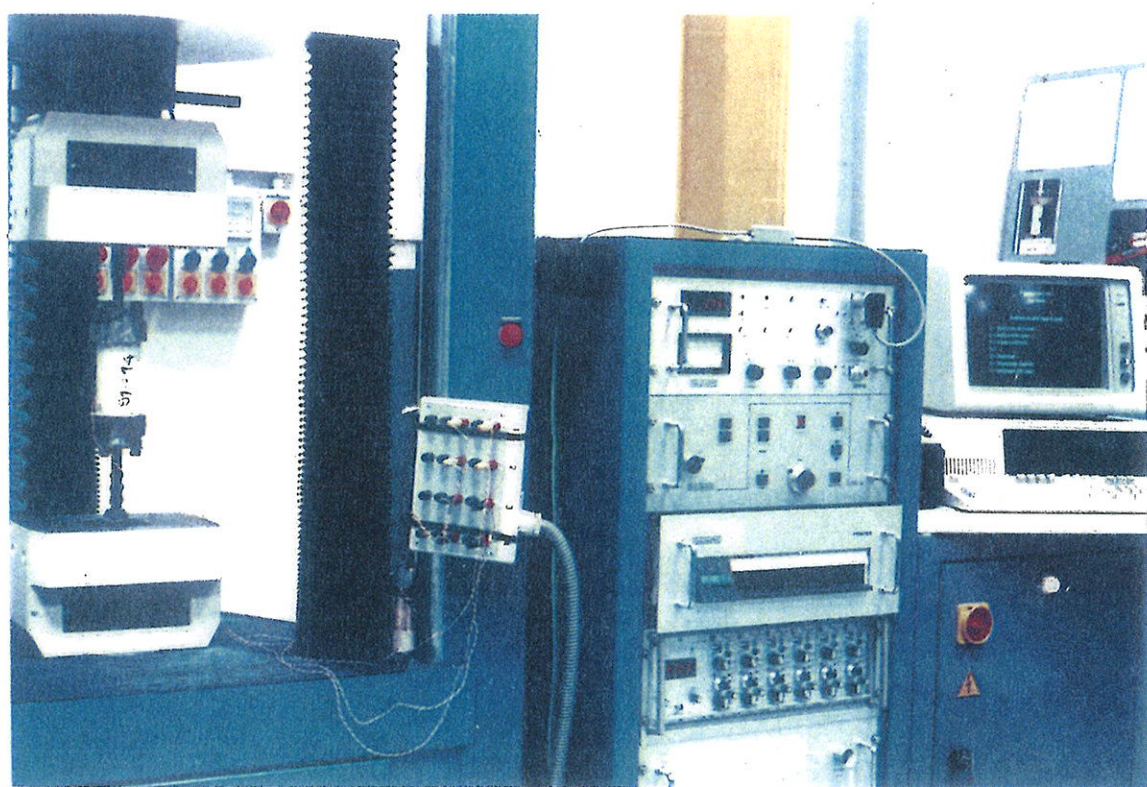


FIG. 8

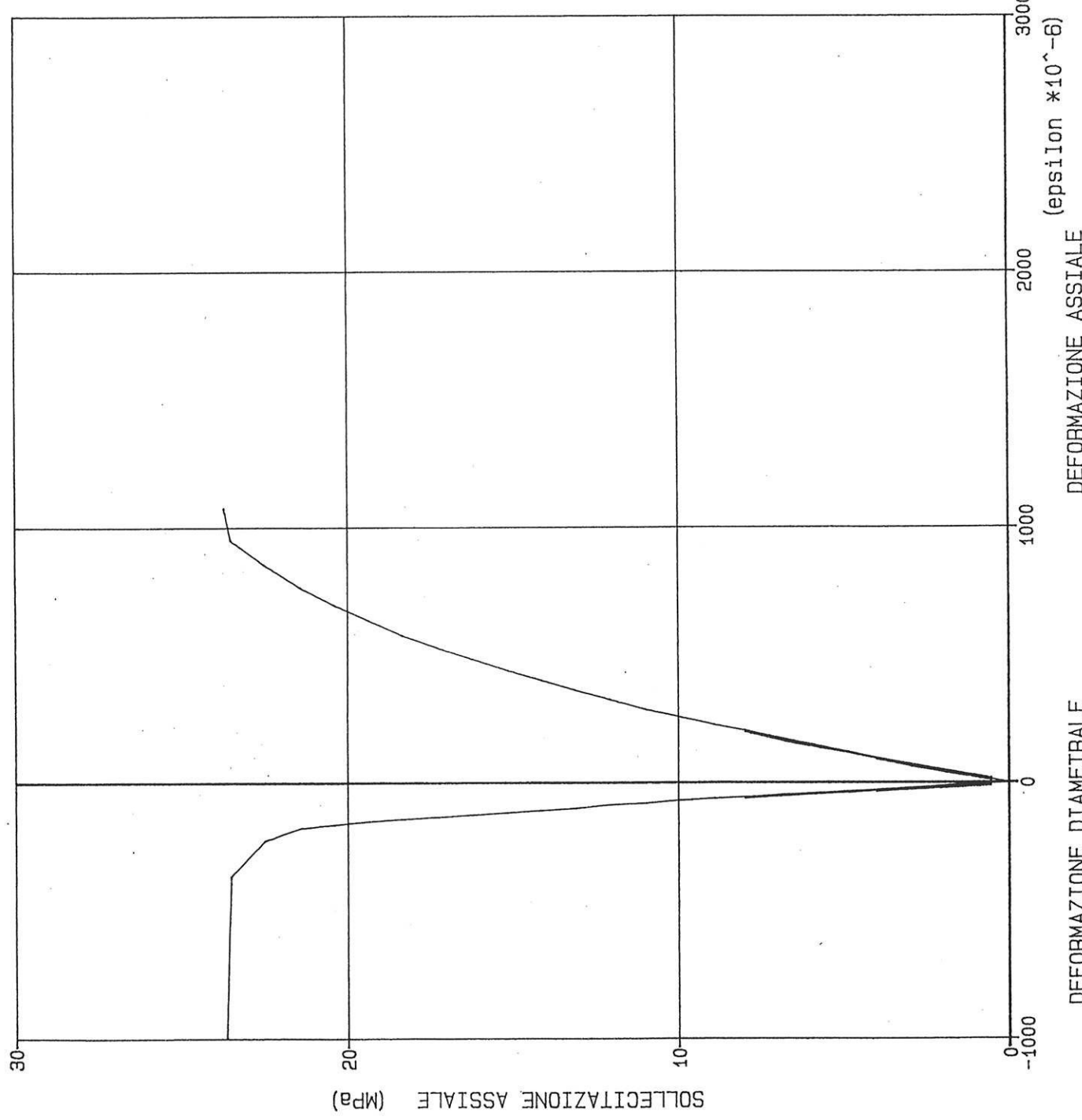
COMMITTENTE : ITALCEMENTI

DIGA DI CASSIGLIO

PROVE DI COMPRESSIONE
MONOASSIALE SUI CAMPIONI
DIAGRAMMI DELLE DEFORMAZIONI
ASSIALI E DIAMETRALI
IN FUNZIONE DELLA SOLLECITAZIONE
ASSIALE

CALCESTRUZZO

CAMPIONE : S11-6



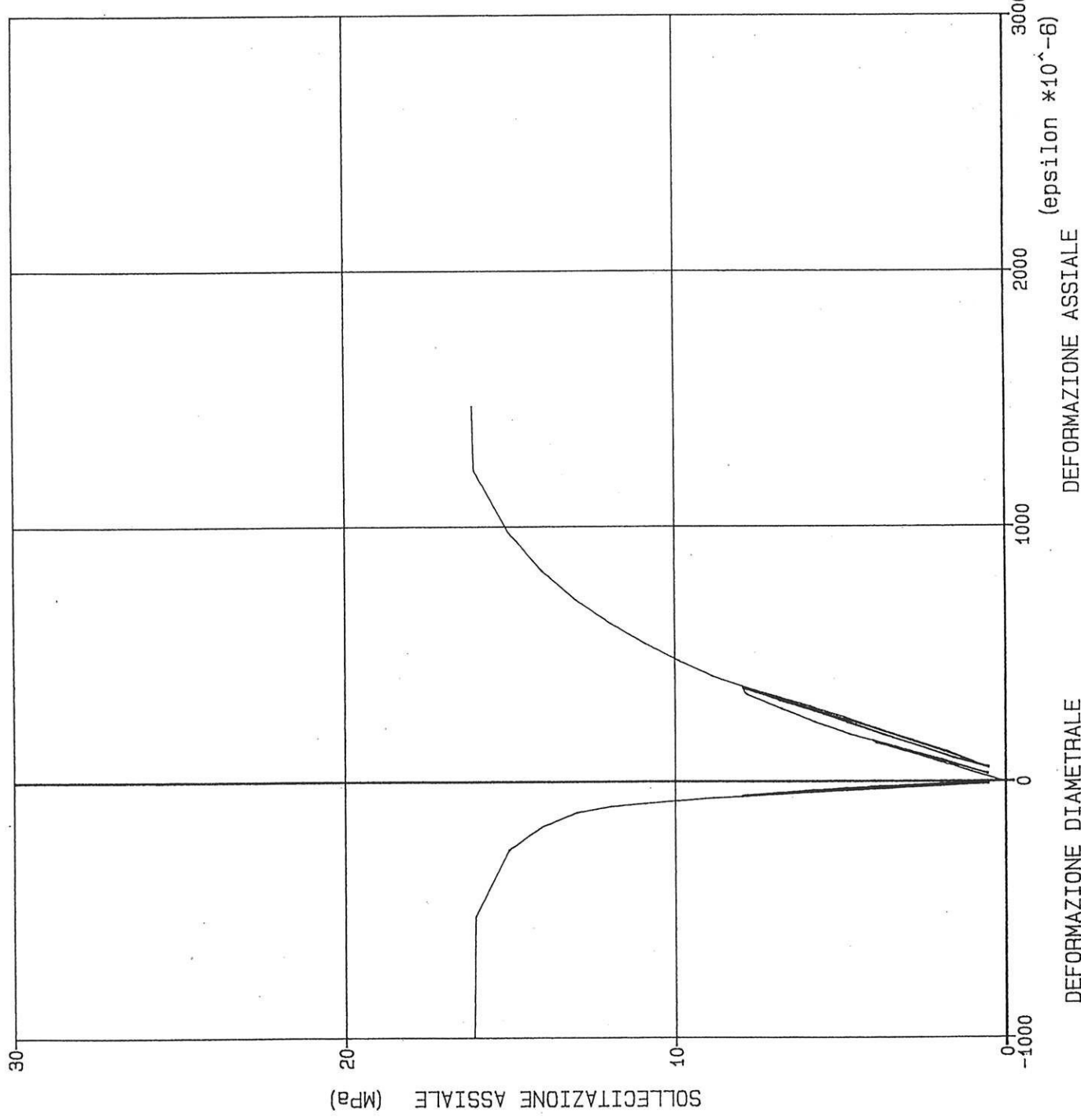
COMMITTENTE : ITALCEMENTI

DIGA DI CASSIGLIO

PROVE DI COMPRESSIONE
MONDASSIALE SUI CAMPIONI
DIAGRAMMI DELLE DEFORMAZIONI
ASSIALI E DIAMETRALI
IN FUNZIONE DELLA SOLLECITAZIONE
ASSIALE

CALCESTRUZZO

CAMPIONE : S1I-8



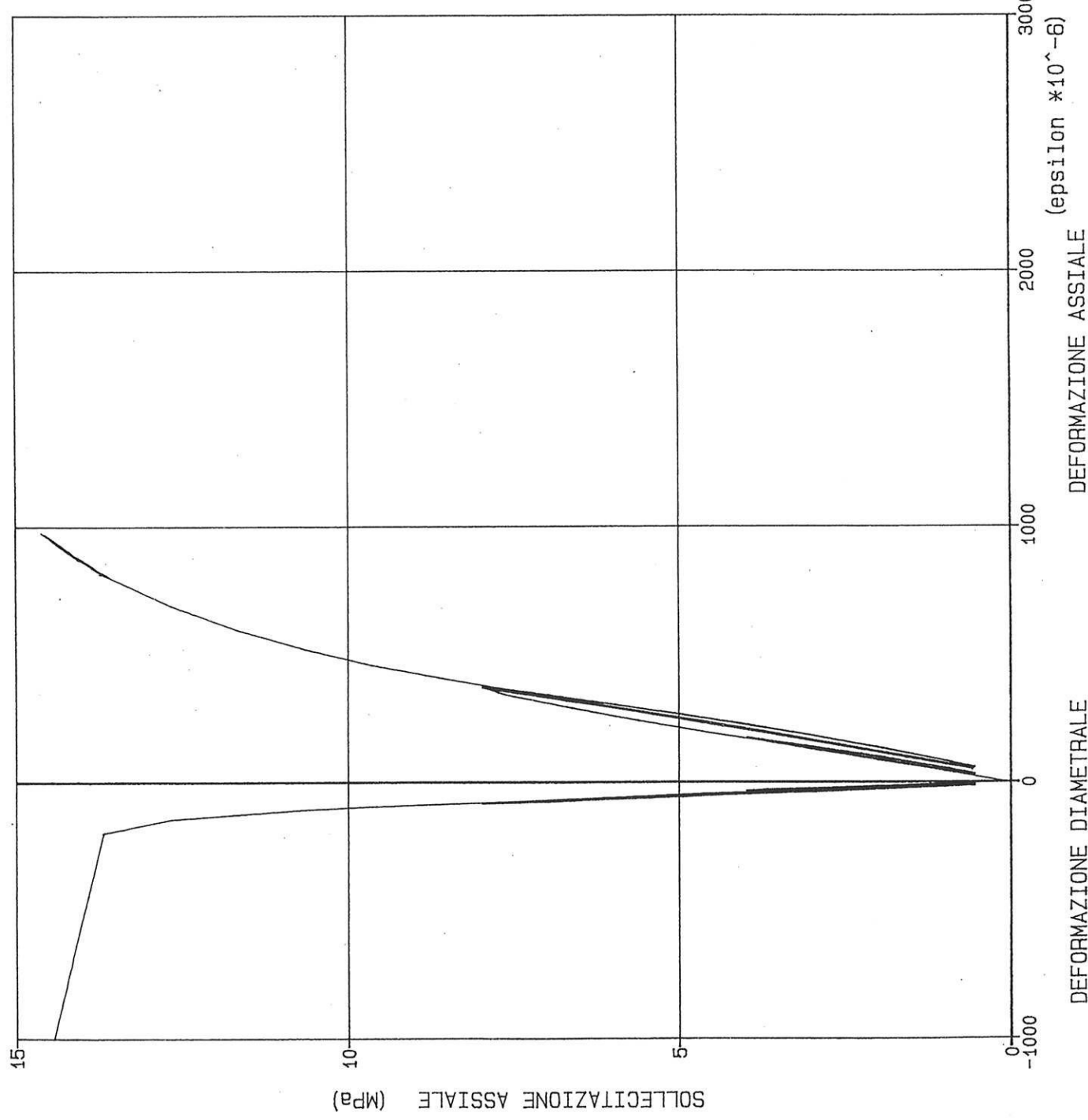
COMMITTENTE : ITALCEMENTI

DIGA DI CASSIGLIO

PROVE DI COMPRESSIONE
MONDASSIALE SUI CAMPIONI
DIAGRAMMI DELLE DEFORMAZIONI
ASSIALI E DIAMETRALI
IN FUNZIONE DELLA SOLLECITAZIONE
ASSIALE

CALCESTRUZZO

CAMPIONE : S1I-9



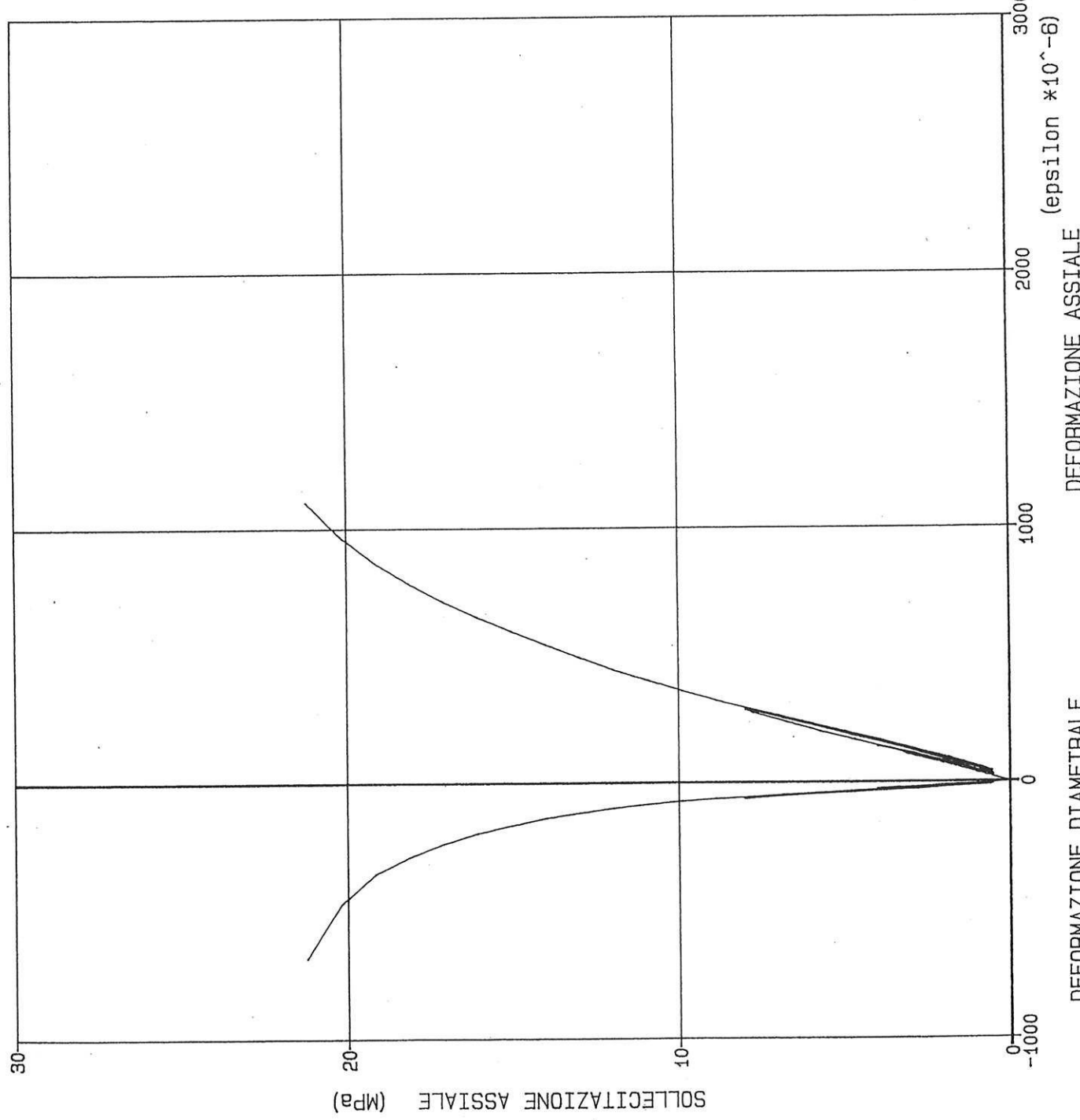
COMMITTENTE : ITALCEMENTI

DIGA DI CASSIGLIO

PROVE DI COMPRESSIONE
MONOASSIALE SUI CAMPIONI
DIAGRAMMI DELLE DEFORMAZIONI
ASSIALI E DIAMETRALI
IN FUNZIONE DELLA SOLLECITAZIONE
ASSIALE

CALCESTRUZZO

CAMPIONE : S1V-1



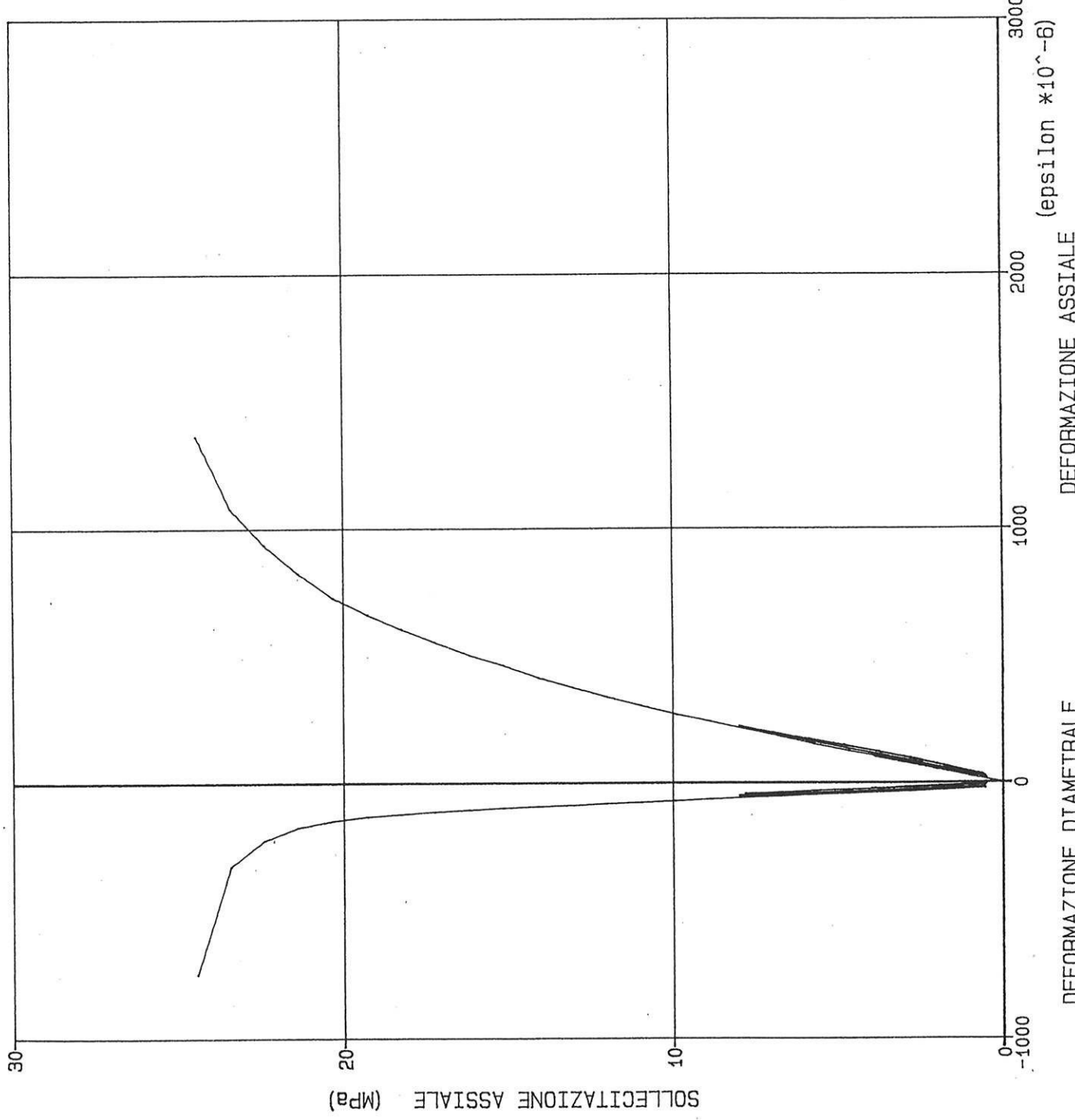
COMMITTENTE : ITALCEMENTI

DIGA DI CASSIGLIO

PROVE DI COMPRESSIONE
MONOASSIALE SUI CAMPIONI
DIAGRAMMI DELLE DEFORMAZIONI
ASSIALI E DIAMETRALI
IN FUNZIONE DELLA SOLLECITAZIONE
ASSIALE

CALCESTRUZZO

CAMPIONE : S1V-5



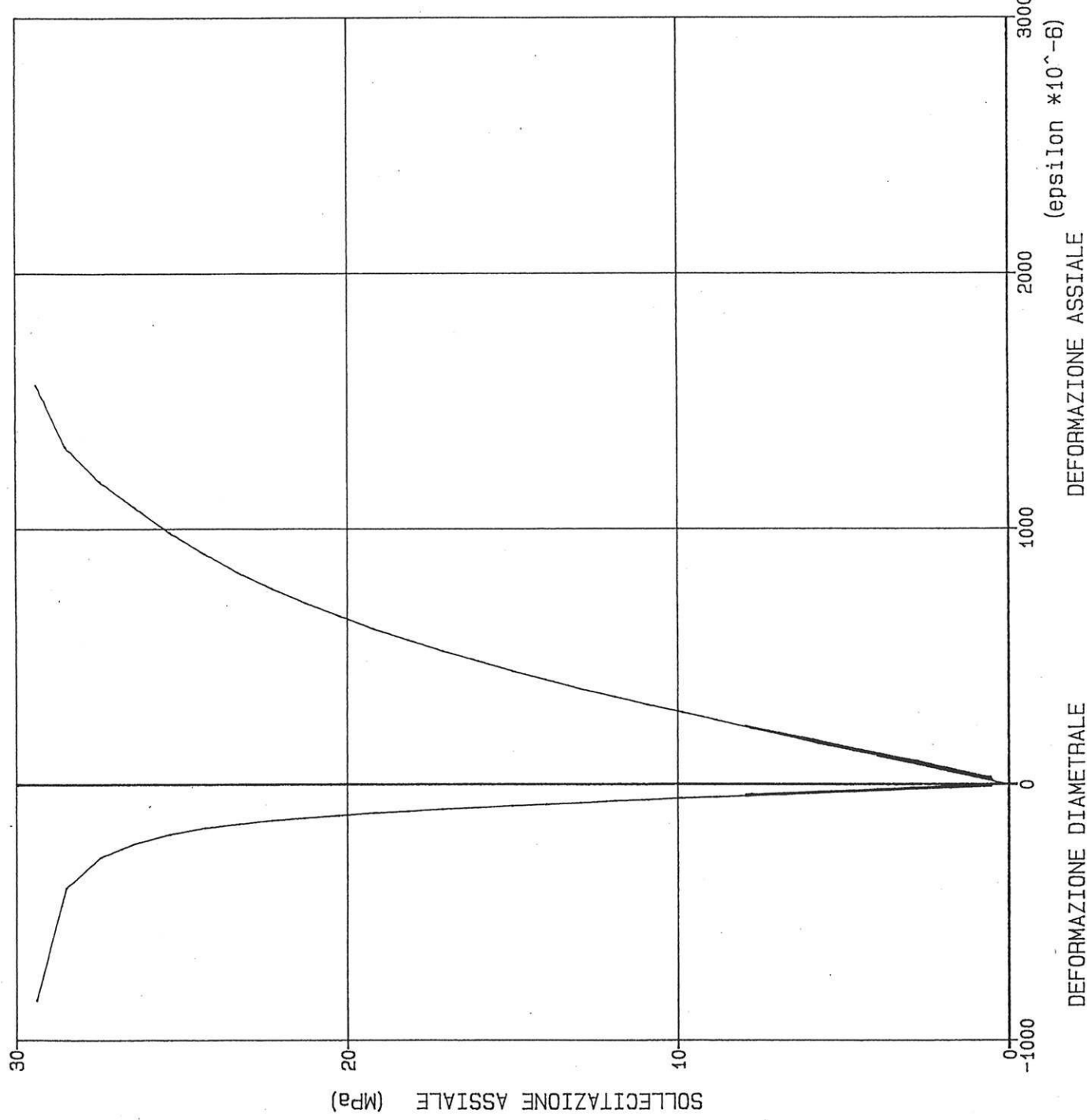
COMMITTENTE : ITALCEMENTI

DIGA DI CASSIGLIO

PROVE DI COMPRESSIONE
MONDASSIALE SUI CAMPIONI
DIAGRAMMI DELLE DEFORMAZIONI
ASSIALI E DIAMETRALI
IN FUNZIONE DELLA SOLLECITAZIONE
ASSIALE

CALCESTRUZZO

CAMPIONE : S1V-7



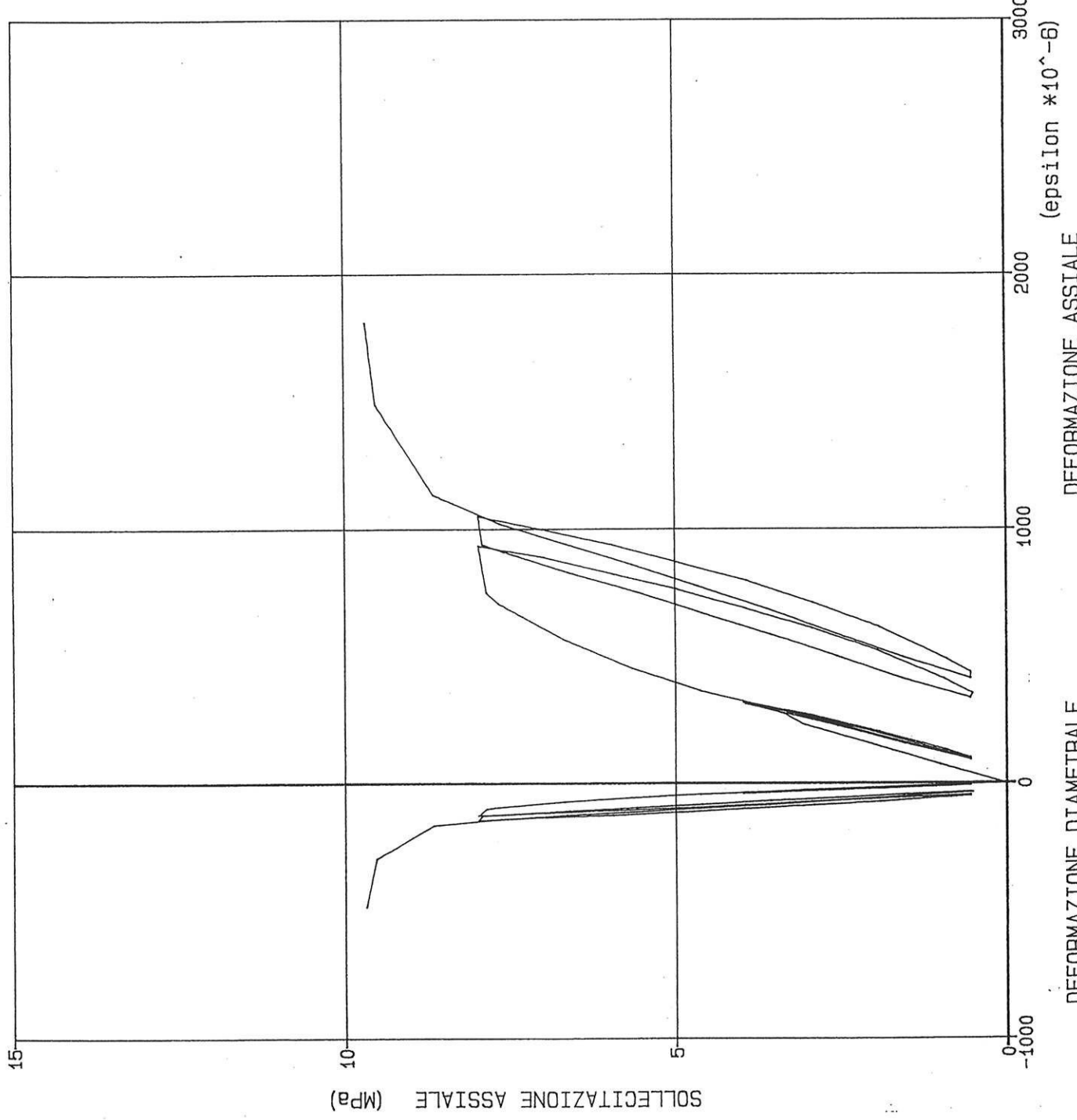
COMMITTENTE : ITALCEMENTI

DIGA DI CASSIGLIO

PROVE DI COMPRESSIONE
MONOASSIALE SUI CAMPIONI
DIAGRAMMI DELLE DEFORMAZIONI
ASSIALI E DIAMETRALI
IN FUNZIONE DELLA SOLLECITAZIONE
ASSIALE

CALCESTRUZZO

CAMPIONE : S1V-8



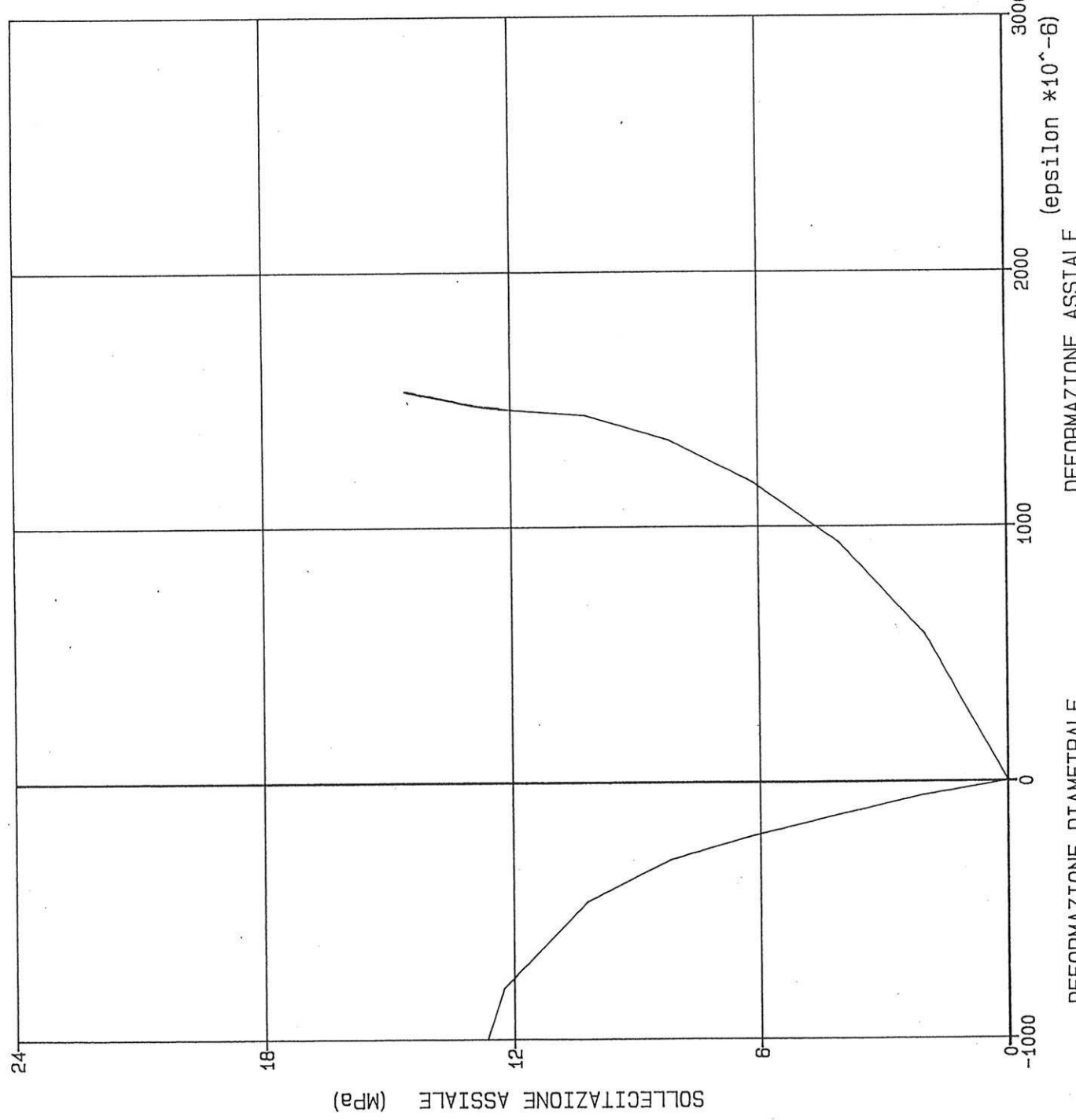
COMMITTENTE : ITALCEMENTI

DIGA DI CASSIGLIO

PROVE DI COMPRESSIONE
MONOASSIALE SUI CAMPIONI
DIAGRAMMI DELLE DEFORMAZIONI
ASSIALI E DIAMETRALI
IN FUNZIONE DELLA SOLLECITAZIONE
ASSIALE

ROCCIA

CAMPIONE : SII-11



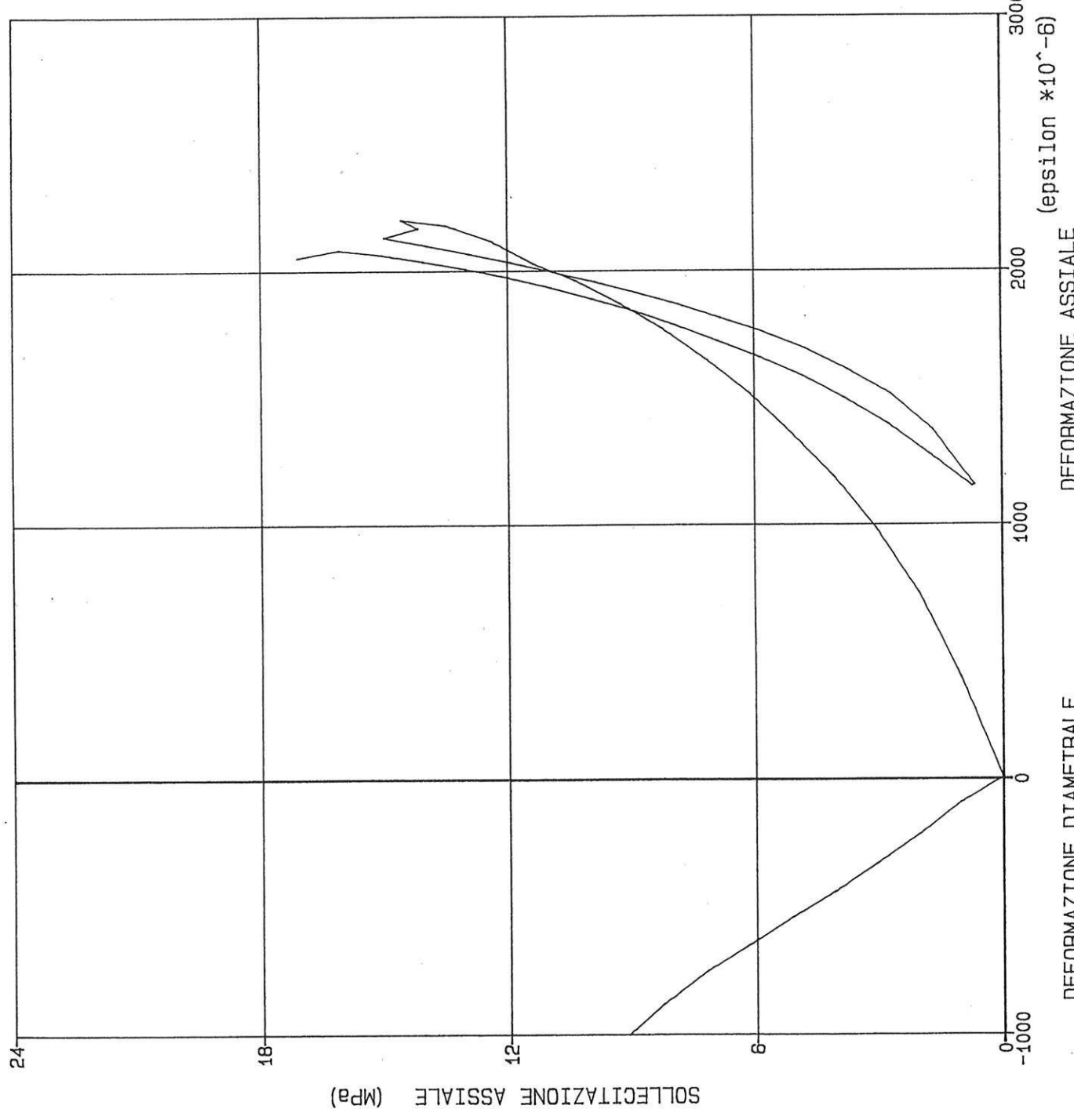
COMMITTENTE : ITALCEMENTI

DIGA DI CASSIGLIO

PROVE DI COMPRESSIONE
MONOASSIALE SUI CAMPIONI
DIAGRAMMI DELLE DEFORMAZIONI
ASSIALI E DIAMETRALI
IN FUNZIONE DELLA SOLLECITAZIONE
ASSIALE

ROCCIA

CAMPIONE : S1I-12



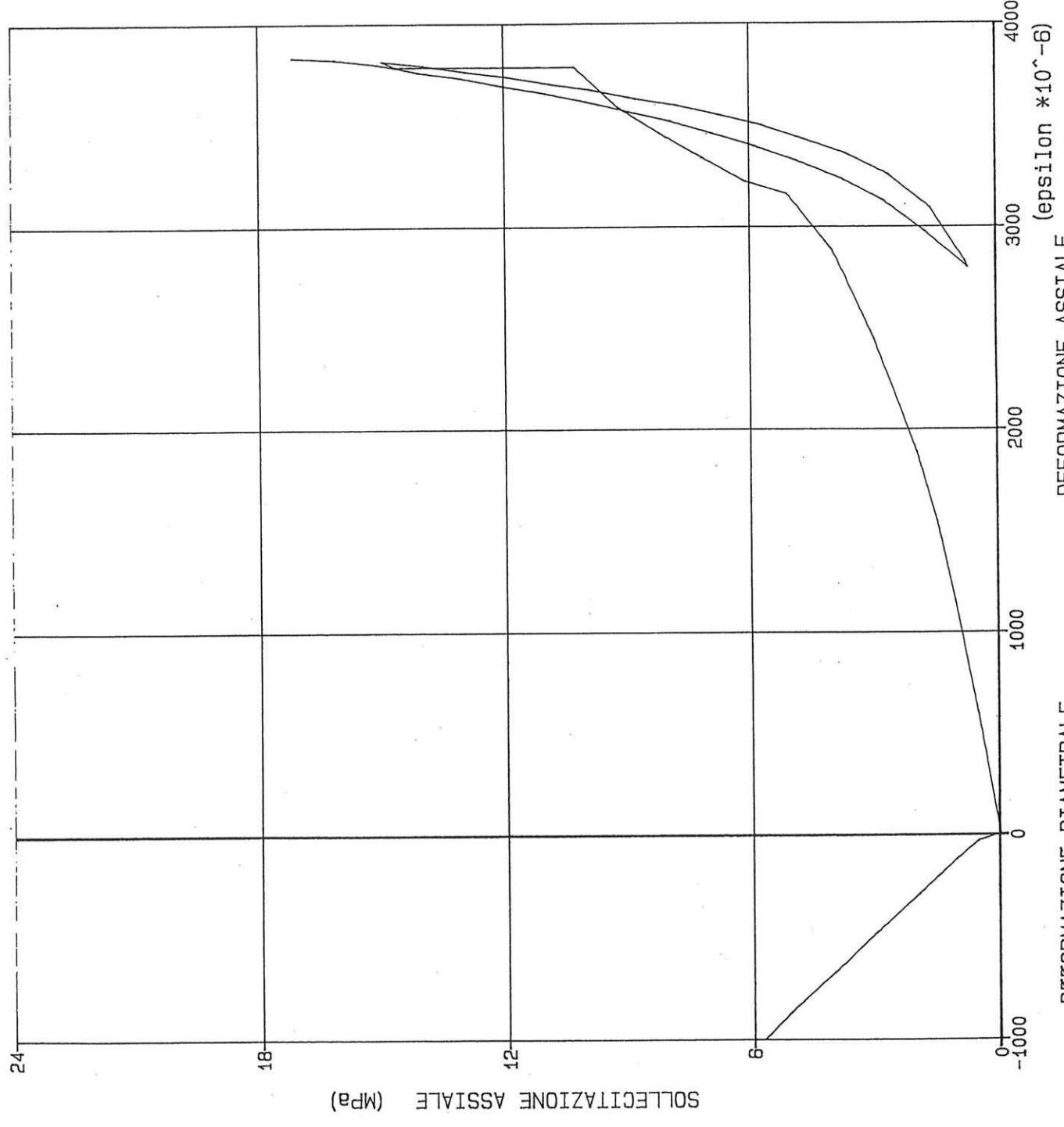
COMMITTENTE : ITALCEMENTI

DIGA DI CASSIGLIO

PROVE DI COMPRESSIONE
MONOASSIALE SUI CAMPIONI
DIAGRAMMI DELLE DEFORMAZIONI
ASSIALI E DIAMETRALI
IN FUNZIONE DELLA SOLLECITAZIONE
ASSIALE

ROCCIA

CAMPIONE : SII-13



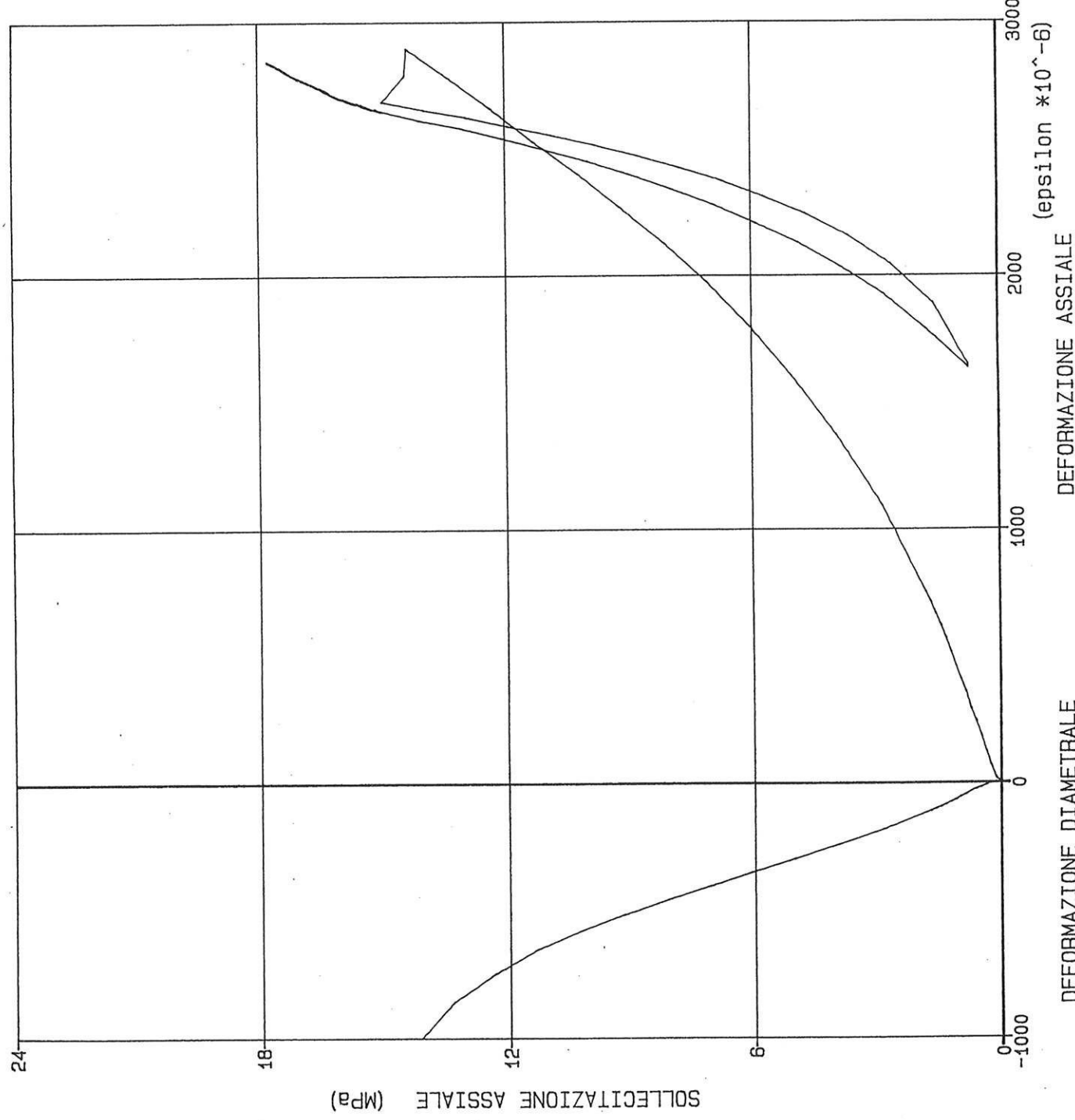
COMMITTENTE : ITALCEMENTI

DIGA DI CASSIGLIO

PROVE DI COMPRESSIONE
MONOASSIALE SUI CAMPIONI
DIAGRAMMI DELLE DEFORMAZIONI
ASSIALI E DIAMETRALI
IN FUNZIONE DELLA SOLLECITAZIONE
ASSIALE

ROCCIA

CAMPIONE : S1I-14



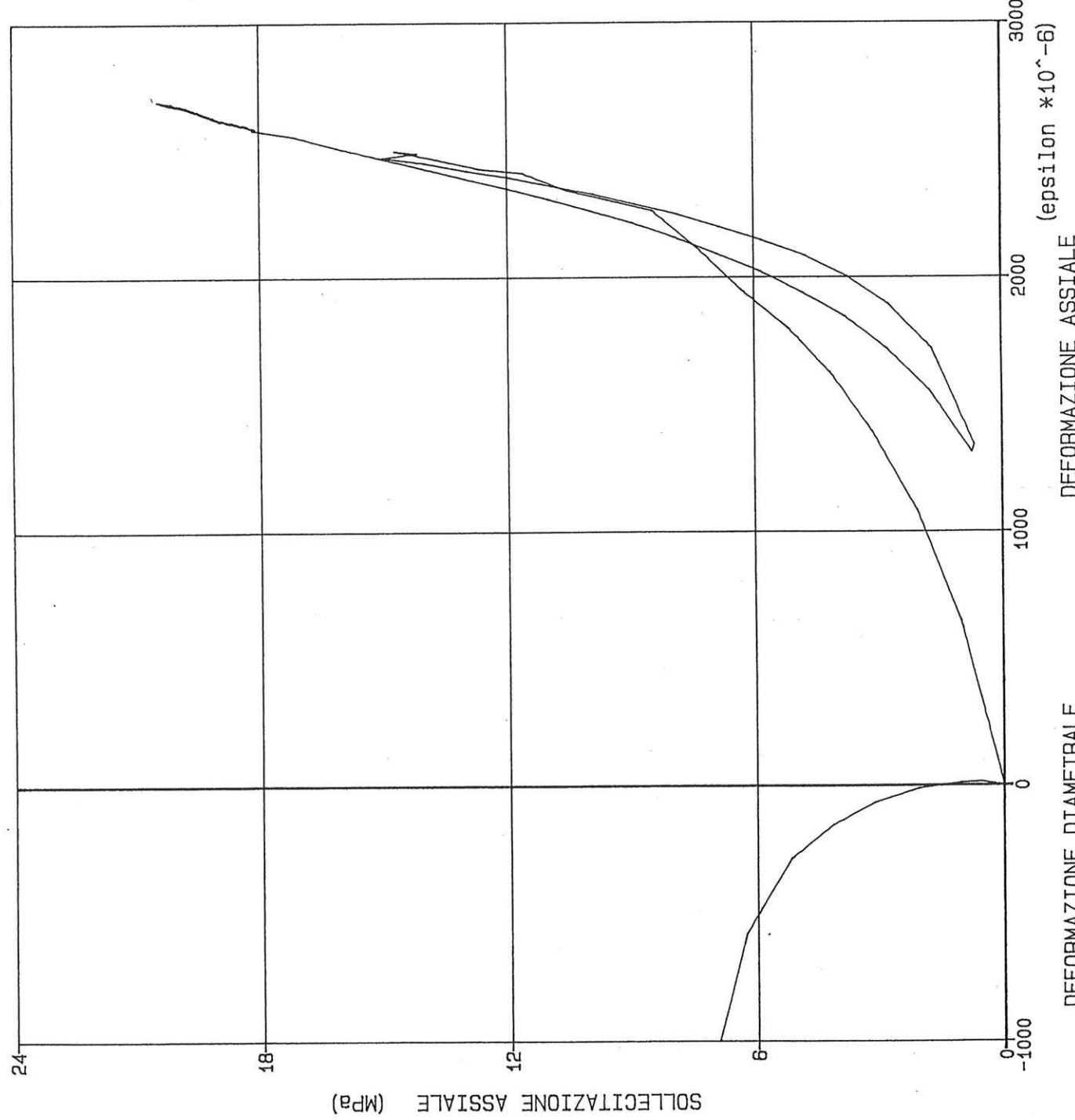
COMMITTENTE : ITALCEMENTI

DIGA DI CASSIGLIO

PROVE DI COMPRESSIONE
MONDASSIALE SUI CAMPIONI
DIAGRAMMI DELLE DEFORMAZIONI
ASSIALE E DIAMETRALI
IN FUNZIONE DELLA SOLLECITAZIONE
ASSIALE

ROCCIA

CAMPIONE : SII-15



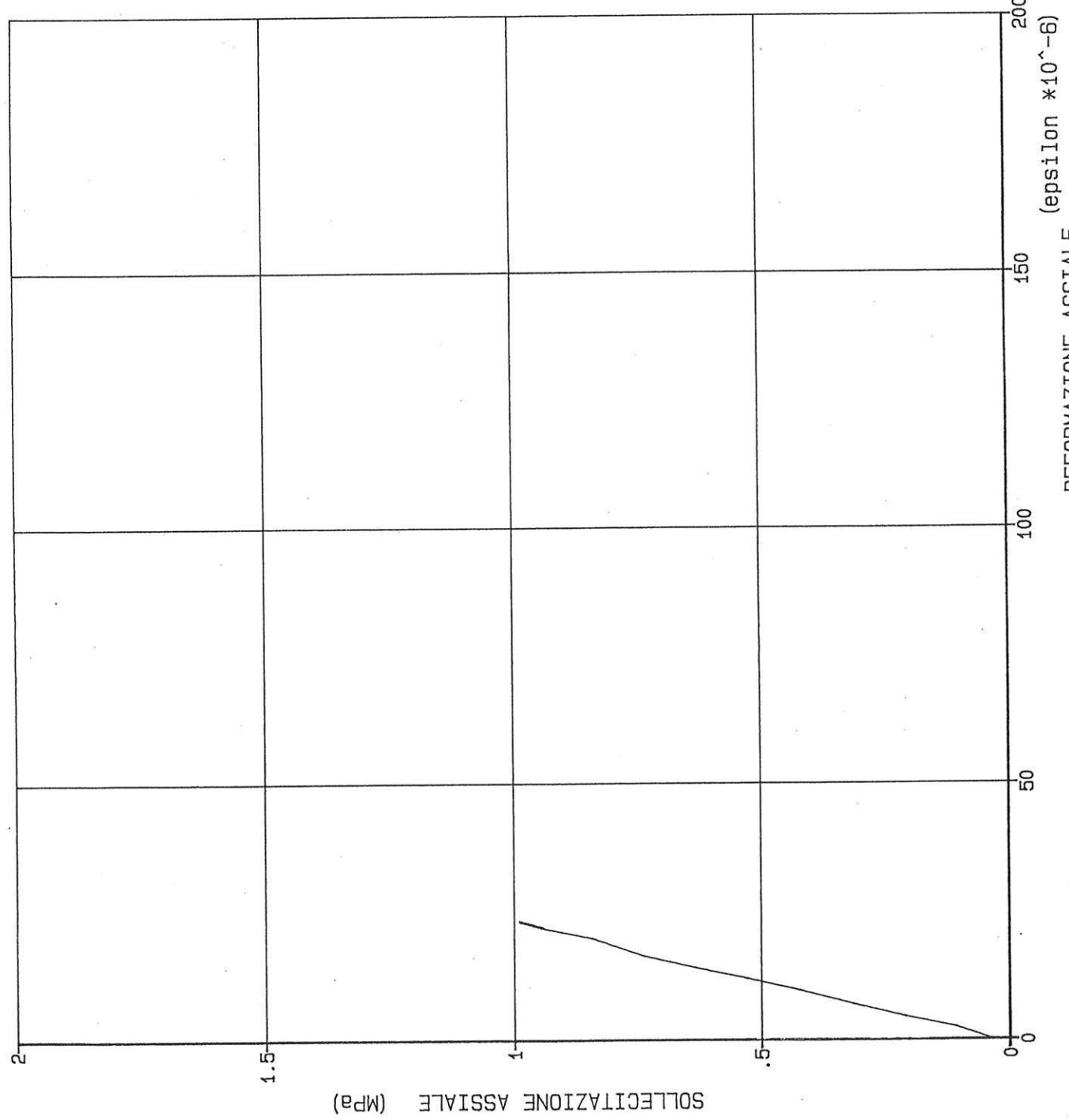
COMMITTENTE : ITALCEMENTI

DIGA DI CASSIGLIO

PROVE DI TRAZIONE DIRETTA
SUI CAMPIONIDIAGRAMMI DELLE DEFORMAZIONI
ASSIALI E DIAMETRALI
IN FUNZIONE DELLA SOLLECITAZIONE
ASSIALE

CALCESTRUZZO

CAMPIONE : S1I-1



COMMITTENTE : ITALCEMENTI

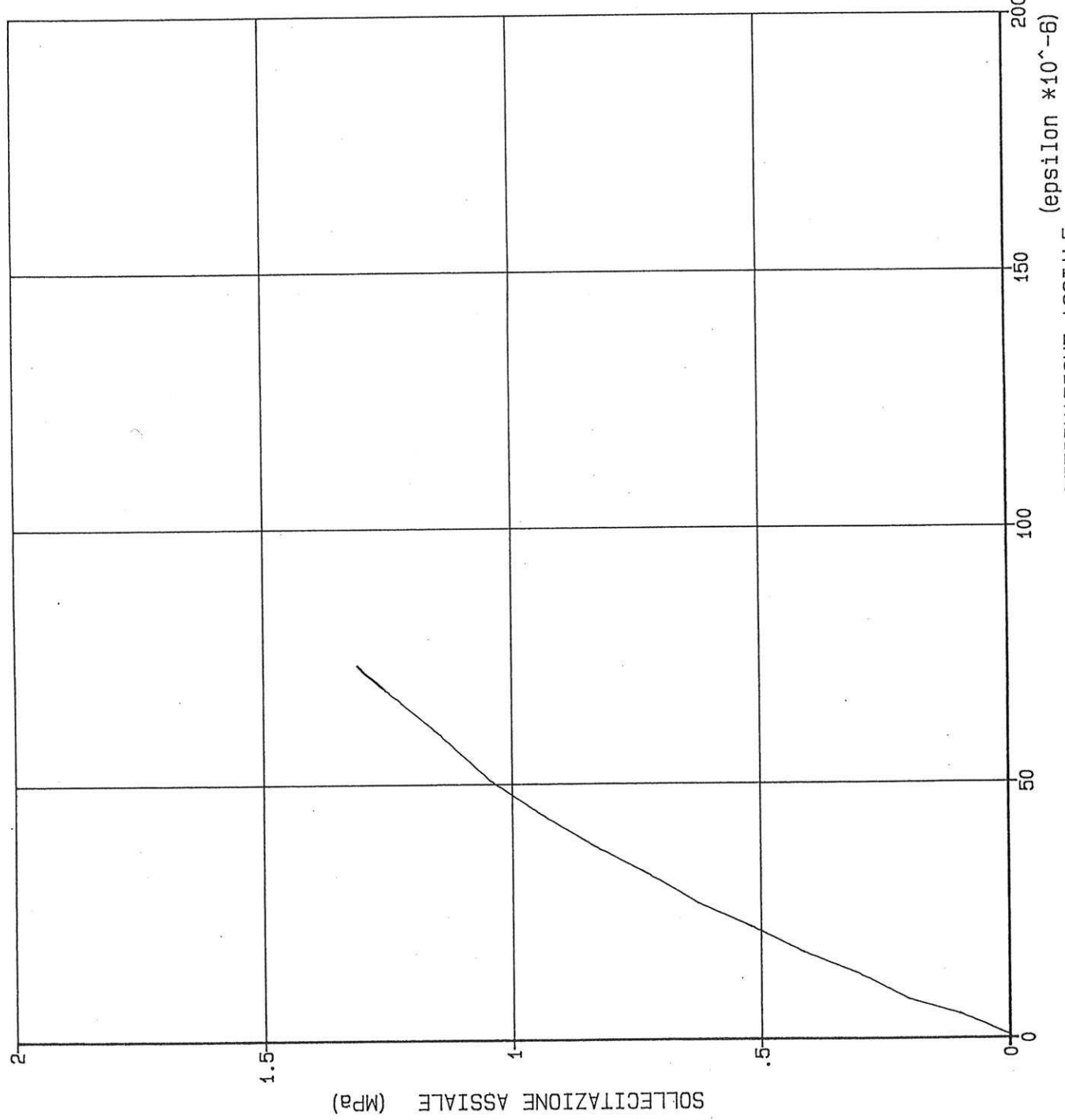
DIGA DI CASSIGLIO

PROVE DI TRAZIONE DIRETTA
SUI CAMPIONI

DIAGRAMMI DELLE DEFORMAZIONI
ASSIALI E DIAMETRALI
IN FUNZIONE DELLA SOLLECITAZIONE
ASSIALE

CALCESTRUZZO

CAMPIONE : S1I-5



COMMITTENTE : ITALCEMENTI

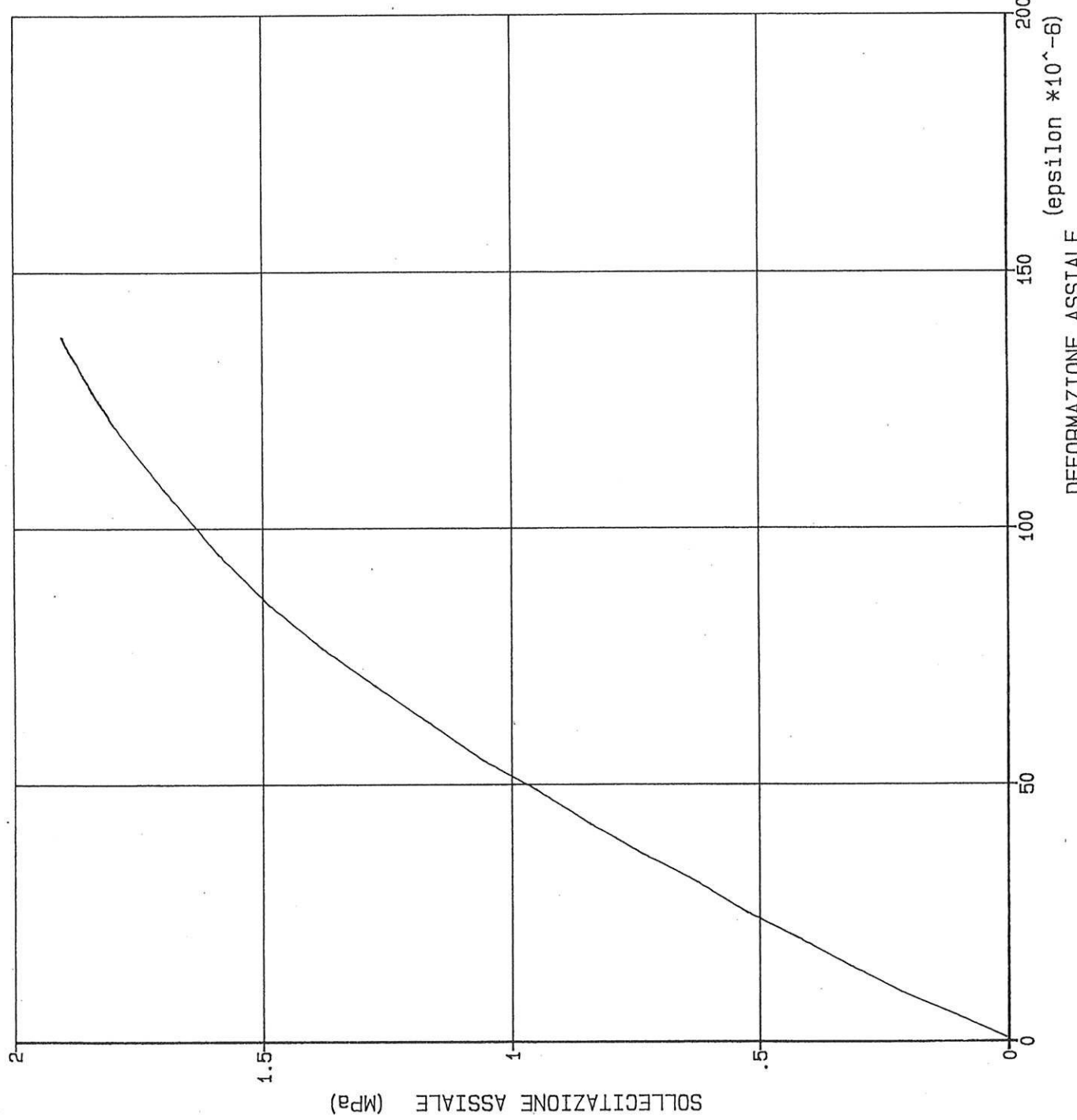
DIGA DI CASSIGLIO

PROVE DI TRAZIONE DIRETTA
SUI CAMPIONI

DIAGRAMMI DELLE DEFORMAZIONI
ASSIALI E DIAMETRALI
IN FUNZIONE DELLA SOLLECITAZIONE
ASSIALE

CALCESTRUZZO

CAMPIONE : S1V-4



COMMITTENTE : ITALCEMENTI

DIGA DI CASSIGLIO

PROVE DI TRAZIONE DIRETTA
SUI CAMPIONI

DIAGRAMMI DELLE DEFORMAZIONI
ASSIALI E DIAMETRALI
IN FUNZIONE DELLA SOLLECITAZIONE
ASSIALE

CALCESTRUZZO

CAMPIONE : S1V-8

Riccardo Pogoraro

